

## 討13 Fe-1.5%Ni および Fe-1.5%Si 合金の脆性について

川崎製鉄 技術研究所

田中智夫 小沢竜司

○船越智己

## 1. 謙言

体心立方格子である純鉄を低温で変形すると脆性破壊を起こすことはよく知られており、この脆性破壊の導動によれば合金元素の影響について数多くの報告が行なわれている。<sup>1)2)</sup> 脆化を防止する元素の中でも代表的なNiの添加は結晶粒、炭化物の微細化による直接的な効果<sup>1),2)</sup> の外にフェライト自体の塑性を増加させるといわれている。<sup>3)</sup> 一方脆化を促進する元素の一つであるSiの添加により、双晶を発生する温度は高温側にずれることが報告されている。<sup>4)</sup>

この相反した特性を示すFe-Ni, Fe-Si合金に注目して、降伏応力の温度依存性を測定し、さらに結晶粒径の異なる試験用用<sup>1)</sup>、77°Kで引張試験を行ない、変形および破壊の状況を調査した。

## 2. 試料および実験方法

真空溶解により溶解した20kg 鋼塊を鍛造後熱間圧延し、標準のうちさらに冷間圧延によって板厚0.8mmの薄板とした。これをより幅7mm、標点距離40mmの引張試験用切削加工し、温水素乾水素焼鈍により脱炭脱窒した。一部の試験片はさらに加炭して試験に供した。なお冷間加工量および最終の焼鈍の変化により結晶粒を調整した。試料の化学成分を表1に示す。

オートグラフを用い、歪速度 $4.2 \times 10^{-4} \text{ sec}^{-1}$ 、77°K～323°Kの温度範囲で引張試験を行なった。

表1 試料の化学成分 (wt%)

材 料	C	Si	Mn	P	S	Cu	Ni	Ae	O	N
Fe	0.0008	0.014	0.001	0.002	0.004	0.003	tr	0.003	0.0021	0.0008
Fe-1.5%Ni	0.0011	0.01	<0.01	<0.001	0.003	<0.01	1.43	0.002	0.0017	0.0011
Fe-1.5%Si	0.0010	1.48	0.001	0.001	0.004	<0.01	tr	0.002	0.0015	0.001

## 3. 実験結果および考察

結晶粒径 ( $d = 50 \sim 60\mu$ ) の異なる純鉄および合金における降伏応力の試験温度による変化を図1に示す。合金元素の添加によって常温付近の降伏応力は増加し、これが固溶硬化現象がみとめられるが、低温になると逆に降伏応力の増加率が減少し、固溶軟化現象を示す。この傾向はFe-Ni, Fe-Si合金のいずれにもみられ、しかも硬化および軟化の大きさはSiの添加により著しい。図2は77°Kにおける降伏応力、破壊応力、断面収縮率と $d^{-1/2}$ との関係を示す。純鉄の試験片はすべて脆性破壊し、破壊に先立ち双晶が発生していることは荷重の落下あるいは音の発生によって確認された。Fe-Ni合金では $d^{-1/2}$ が $5.25 \text{ mm}^{-1/2}$  ( $d=36\mu$ ) より粗の試験片は双晶を発生したうえ脆性破壊した。 $d^{-1/2}$ が $5.85 \text{ mm}^{-1/2}$  ( $d=29\mu$ ) の試験片は降伏後数%の塑性変形したうえ脆性破壊した。これら細粒の試験片では降伏、加工硬化のうえ延性破壊した。一方Fe-Si合金においては降伏現象がみとめられたのは $d^{-1/2}$ が $6 \text{ mm}^{-1/2}$  ( $d=28\mu$ ) より細粒の試験片であり、より粗粒の試験片は純鉄であることはFe-Ni合金同様双晶をともなく、て脆性破壊した。Fe-Ni合金に

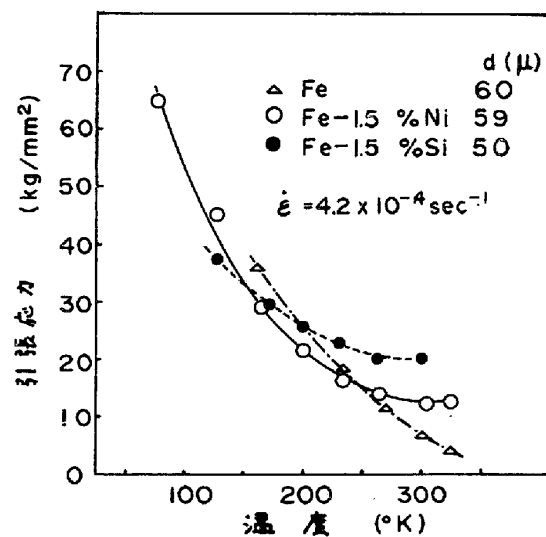


図1 Fe, Fe-1.5%Ni および Fe-1.5%Si 合金の降伏応力の試験温度による変化

における双晶生長とならう脆性破壊応力は Fe-Si 合金のそれにくらべて大きく、また降伏点よりも限界の粒度についても Fe-Ni 合金が大きく、Fe-Ni 合金は Fe-Si 合金にくらべ  $77^{\circ}\text{K}$  において韌性に富んでいることがわかる。

脆性破壊発生の条件として Ludwick<sup>5)</sup> は変形応力曲線と破壊応力曲線の交叉を考へた。これによると降伏応力の大きさが直接破壊発生条件を左右することになる。Fe-Si 合金は Fe-Ni 合金にくらべ低温で脆化するにもかかわらず、その降伏応力は強く、単純な応力の比較の上で破壊は論どらざなりことが明らかである。

Cottrell<sup>6)</sup> はすべり帶の合体によりわれの核が発生するモデルをつくり、さらにこれが伝播する条件を求め、韌性から脆性への遷移の条件式として (1) 式を得ている。

$$\sigma_y Ky d^{1/2} = \beta \mu \sigma' \quad (1)$$

ここで  $\sigma$  は外部応力、 $K_y$  は降伏応力の結晶粒度依存性を示す常数、 $d$  は結晶粒度、 $\beta$  は 1 に近い常数、 $\mu$  は剛性率、 $\sigma'$  は有効表面エネルギーである。

1.5 wt% を含有する Fe-Ni および Fe-Si 合金において  $K_y$  および  $\sigma'$  が多量に変化することは思われるが、結晶粒度の大きい合金では  $K_y$  が減少し、 $\sigma'$  が増加すると破壊応力は増加し、 $K_y$  および  $\sigma'$  にあればす合金元素の影響は脆性にあればす合金元素の効果としてあらわれてくる。

Fe-Ni および Fe-Si 合金における  $K_y$  の値の試験温度による変化を図 3 に示す。図中には他の研究者による測定結果も併記してある。Fe-Si 合金の  $K_y$  は Fe-Ni 合金にくらべて大きく、約 1.3 倍である。Fe-1.5% Si 合金の  $K_y$  は常温から  $77^{\circ}\text{K}$  の温度範囲で変化せず、Fe-3% Si 合金についての Hull<sup>7)</sup> の測定によれば  $77^{\circ}\text{K}$  付近の急激な増加はみとめられない。

(1) 式は外力が降伏応力のときには、

$$\sigma_y Ky d^{1/2} = \beta \mu \sigma' \quad (2)$$

$$Ky (\sigma_y d^{1/2} + \sigma') = \beta \mu \sigma' \quad (3)$$

となり、左辺が右辺より小さい時には、これは発生しても特定の大きさ以上に伝播できず、軟鋼において伝播できない微小われが存在すること、破壊応力はすべて降伏応力を上回ることから Low<sup>8)</sup> の実験結果をよく説明している。図 2 に示されるように結晶粒の大きな試片では降伏応力の粒度依存性より大きな勾配をもつ破壊応力曲線が存在し、破壊は降伏応力より高い応力で起こっている。この破壊応力と降伏応力の関係は Hull<sup>7)</sup> の結果にも認められ Low の結果とは異なる現象である。Hull は双晶を発生するとただちに脆性破壊に移行すると解釈して破壊応力曲線を双晶発生応力曲線とし、

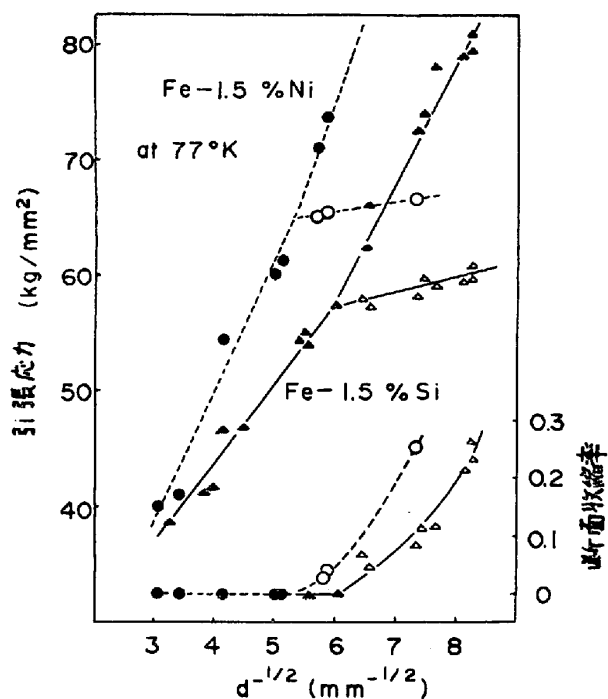


図 2 Fe-1.5% Ni および Fe-1.5% Si 合金の破壊応力、降伏応力および断面收縮率の結晶粒度との関係

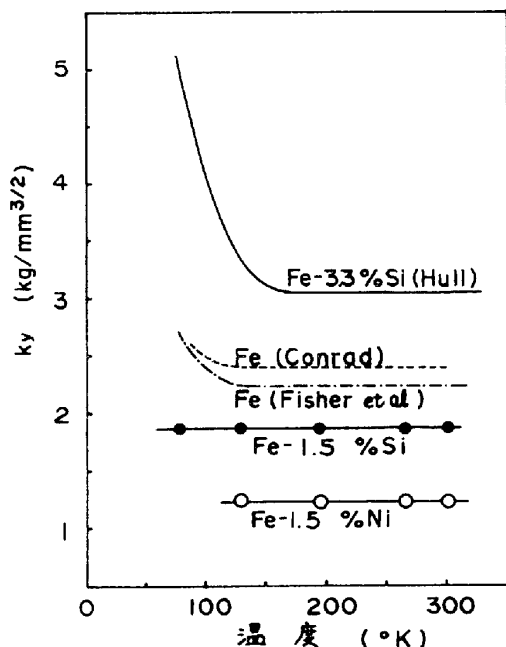


図 3 Fe, Fe-Ni および Fe-Si 合金の  $K_y$  の温度による変化

$$\sigma_t = \sigma_{tc} + k_y d^{-1/2} \quad (4)$$

を得てゐる。双晶が発生すると双晶同志の衝突ある時は双晶の結晶界への衝突により切れを生じることは確認されており、双晶をすべり帶とおきれば同じ取扱いができるべきはあくまでわれの発生に関する機構である。われの伝播に関する Cottrell の条件式において  $k_y$  のふたりに  $k_t$  を用ひることは可能であるが、 $k_t$  を求めるとき破壊応力が双晶発生応力と同一であるとすることに問題が残り、破壊応力のばらつきも大きいので正確な  $k_t$  の値を求めたうえで論議すべきであろう。Worthington と Smith<sup>9)</sup>によれば双晶の発生に先立ち Schmidt Factor の大きい結晶粒内にすべりのあらざることが観察されてゐる。したがって双晶変形に対してすべり変形が密接に関連していることが推察される。

すべり帶の先端から  $r$  の距離にある直角衝撃最大剪断応力は  $(\tau - \tau_c)(d/4r)^{1/2}$  で表わされる。<sup>10)</sup> まことに転位源があり、これが活動せると必要な応力を  $\tau_c$  とすると、すべり帶が伝播するに必要な応力は、

$$\tau = \tau_c + 2\tau_c r^{1/2} d^{-1/2} \quad (5)$$

である。すべり面およびすべり方向が引張軸に対して  $45^\circ$  の角をなすとすると降伏応力は(6)式となる。

$$\sigma = 2\tau_c + 4\tau_c r^{1/2} d^{-1/2} \quad (6)$$

しかしながら多結晶において各粒の方位は乱雑であるから、すべり帶が全ての結晶粒を伝播するにはより高い外力が必要となり、また相隣れる結晶粒界がすべり帶の伝播後も連続性を保つには各結晶粒内で多数のすべり系が活動する必要がある。<sup>11)</sup> このような考え方から多結晶の降伏応力は次のようにならわれる。

$$\sigma = M\tau_c + m^2 \tau_c r^{1/2} d^{-1/2} \quad (7)$$

$M$  は活動するすべり系の数に關係する方位因子と呼ばれる値である。

外力が(6)式に示す値になると最も Schmidt Factor の大きい結晶粒内ではすべりが起り、結晶粒界に到達するが、他の粒内にすべりを伝達することはできない。しかしながら Worthington の報告のように隣接粒において双晶を発生する応力になり、さらに脆性破壊が起きると考えられる。

(7)式を Patch の式と対応させることにより  $k_y$  は  $m^2 \tau_c r^{1/2}$  となり、Fe-Si 合金の  $m^2 \tau_c r^{1/2}$  は Fe-Ni 合金のそれとくらべ大きくなることになる。図 3 にみられるように  $k_y$  の温度依存性はほとんど認められないが、 $\tau_c$  は転位の unlocking に関連する値ではなく、新しく転位を生成させる応力と考えれば、Ni あるいは Si を含有する Fe 合金で  $\tau_c$  が大きく変化する理由は考えられず、 $m$  の変化は重要なことなる。 $M$  は前述のように活動するすべり系の数に關係する値であるが、有利な方向に向けて  $M$  すべり系の活動は独自に転位源が活動するよりもすでに活動しているすべり系からの交叉すべりによって容易に達成される。このように交叉すべりの難易は  $m$  と密接に関連してくる。

Fe-Si 合金についてすべり帶の状態を観察すると、77°K の 5% 変形では、粒径が  $24\mu$  の試片のすべり帶はほとんど直線的であり、交叉すべりの困難なことを示してゐる。粒径が  $14\mu$ になるとすべり線はすべて波形となる。Fe-Ni 合金についてもすべり線の顯出が困難であったが、Jolley<sup>3)</sup>によると Fe-Ni 合金のすべり線は  $50^\circ\text{K}$  でも波形であると報告してあり、Fe-Ni 合金では Fe-Si 合金にくらべ交叉すべりが容易であると推定され、よりては  $m$  もうに  $k_y$  の値を小さくすると考えられる。

$\tau_c$  の値については Fe-3% Si 合金の單結晶を用い、(100)面のへき開強度を直接測定した Gilman の報告<sup>12)</sup>があり、 $20^\circ\text{K}$  で  $1370 \text{ erg/cm}^2$  の値が、 $77^\circ\text{K}$  では約  $25000 \text{ erg/cm}^2$  に増加し、この現象は通常の試験温度ではなく射したへき開面表層部に塑性変形がみとめられるこことを裏書きしている。Fe-Ni 合金についての同様な測定は報告されていない。図 2 において降伏後ただちに脆性破壊する粒径の試片につけて(1)式を用いて  $\sigma$ ,  $k_y$ ,  $d$  を代入して  $m$  を計算すると、Fe-Ni, Fe-Si 合金の値はそれぞれ  $3.7 \times 10^{15} \text{ c.g.s.}$ ,  $4.1 \times 10^{15} \text{ c.g.s.}$  となり、測定値のばらつきを考慮すると差異があるとは認められぬ。

#### 4. 結 構

- (1) 低温における Fe-Ni および Fe-Si 合金の降伏応力は「でも純鉄より低く、固溶軟化現象がみられ、その傾向は Fe-Si 合金がより強い」。
- (2) 粗粒の Fe-Ni および Fe-Si 合金を 77°K で変形すると、双晶を発生したのち脆性破壊を起こす。Fe-Ni 合金の破壊応力は Fe-Si 合金より大きく、また双晶を発生しないで降伏を起こす限界の結晶粒径についても Fe-Ni 合金が大きい。
- (3) Fe-Ni 合金の韌性を Cottrell による韌性から脆性への遷移の条件式を用いて検討した結果、 $k_y$  の値が小さいほど、すなわち交叉すべりが容易である系の数パラメータが重要な因子と考えられる。

#### 文獻

- 1) W.P.Rees, B.E.Hopkins and H.R.Tipler : J.I.S.I., 177(1954), 93.
- 2) G.T.Hahn, B.L.Averbach and M.Cohen : J.I.S.I., 200(1962), 634.
- 3) W.Jolley : Trans. AIME, 242(1968), 306.
- 4) C.S.Barrett, G.Anseal and R.F.Mehl : Trans. ASM, 25(1937), 702.
- 5) P.Ludwik and R.Shen : Stahl u. Eisen, 43(1923), 999.
- 6) A.H.Cottrell : Trans. AIME, 212(1958), 192.
- 7) D.Hull : Acta Met., 9(1961), 191.
- 8) J.R.Low : Symposium on Relation of Properties to Microstructure, ASM. (1954), 163.
- 9) P.J.Worthington and E.Smith : Acta Met., 14(1966), 35.
- 10) J.D.Eshelby, F.C.Frank and F.R.N.Nabarro : Phil. Mag., 42(1951), 351.
- 11) R.Armstrong, I.Codd, R.M.Douthwaite and N.J.Petch : Phil. Mag., 42(1951), 351.
- 12) J.J.Gilman : J. Appl. Phys., 31(1960), 2208.